

## ساخت بسترهایی از پلیمر PLGA با دو روش الکتروریسی و انجاماد-خشک کن به منظور مهندسی بافت

نجمه سلامیان.<sup>۱</sup>، شیوا ایرانی.<sup>۱</sup>، سید محمد اطیابی.<sup>۲\*</sup>، مژگان زندی.<sup>۲</sup>، سید مهدی سعید.<sup>۲</sup> Ph.D.

۱- گروه زیست شناسی، دانشکده علوم پایه، واحد علوم و تحقیقات تهران، دانشگاه آزاد اسلامی

۲- گروه فناوریهای نوین، بخش پایلوت بیوتکنولوژی، انتستیتو پاستور ایران

۳- گروه بیومتریال، پژوهشگاه پلیمر و پتروشیمی ایران،

\* پست الکترونیک نویسنده مسئول: atyabi@pasteur.ac.ir, mohammadatyabi@yahoo.com

تاریخ پذیرش: ۱۳۹۲/۲/۱۰

تاریخ دریافت: ۱۳۹۱/۶/۱۶

### چکیده

هدف: در این پژوهش اهمیت روش ساخت بسته از پلیمر PLGA با ساختار نانو به روش الکتروریسی و روش انجاماد-خشک کن مورد مقایسه و ارزیابی قرار گرفت. بهمین منظور اثر نانوتوبوگرافی بر تکثیر سلولی بر روی نانوفیبرهای تهیه شده در سه سرعت جمع کننده با یکدیگر مقایسه شد.

مواد و روش‌ها: بسترهایی از PLGA با روش انجاماد خشک کن و الکتروریسی تهیه گردید. مورفولوژی ساختارها توسط میکروسکوپ الکترونی، بررسی شد. جهت سنجش فعالیت سلولی، سلول‌های فیبروبلاست موشی بر روی ساختارها کشت داده شد و با آزمون MTT بررسی گردید.

نتایج: تصاویر میکروسکوپ الکترونی نشان داد، با افزایش سرعت چرخش جمع کننده، میزان نظم فیبرها افزایش یافت. تست MTT ( $p<0.05$ )، در ۲۴ ساعت مشخص کرد که بسترهای PLGA تهیه شده به روش انجاماد-خشک کن با ایجاد ساختاری متخلخل، چسبندگی مناسبی برای سلول فراهم کرده است. با ادامه کشت به مدت ۴۸ و ۷۲ ساعت به طور معناداری قابلیت زندگاندن سلول بر روی نانوفیبرهای PLGA متناسب با افزایش نظم آنها افزایش یافت. این قابلیت بر روی ساختار PLGA انجاماد-خشک کن تغییر چندانی نداشت.

نتیجه گیری: نتایج حاصل بیانگر عمل کرد بهتر سلول بر روی نانوفیبر ساخته شده از PLGA به روش الکتروریسی شده نسبت به روش انجاماد-خشک کن بود. علاوه بر این، نانوفیبر منظم به عنوان یک فاکتور مثبت در حمایت از رشد سلول عمل می‌کند به نظر می‌رسد ساختار آن به ماتریکس خارج سلولی طبیعی بسیار نزدیک است.

**واژگان کلیدی :** مهندسی بافت، نانوفیبر، الکتروریسی، PLGA ، انجاماد-خشک کن

خصوصا در کنترل تمایز سلول‌های بنیادی مناسب عمل می‌کند (۱۰). پیشرفت فناوری نانو در سال‌های اخیر امکان طراحی و مهندسی مواد زیستی جدید را فراهم کرده است. نانوتکنولوژی با ورود خود به عرصه‌های مختلف علمی تحول شگرفی را در شاخه‌های مختلف زیستی از جمله مهندسی بافت بوجود آورده است (۱۱).

در این میان نانوفیبرها پتانسیل بالایی در ترمیم بافت نشان داده‌اند (۱۲). روش‌های مختلفی برای ساخت نانوفیبر وجود دارد که در سال‌های اخیر روش الکتروریسندگی جایگاه ویژه‌ای را به خود اختصاص داده است. روش الکتروریسندگی با داشتن سرعت زیاد، ایجاد سطح مخصوص بالا، تخلخل مناسب برای تکثیر و چسبندگی سلول‌ها، کنترل پذیری بالای فرآیند، تنوع در شکل و مواد پلیمری قابل مصرف، توجه محققین را به خود جلب کرده است (۱۲، ۱۳، ۱۴، ۱۵ و ۱۶). فرآیند الکتروریسی در ساده‌ترین شکل شامل یک نازل برای خروج محلول پلیمری، دو الکترود، یک منبع تغذیه DC با تامین ولتاژ در دامنه کیلو ولت و یک جمع کننده الیاف است. اغلب نانوفیبرهای تولید شده توسط الکتروریسی به‌فرم یک شبکه بافت نشده جمع‌آوری می‌شوند که عموماً فیبرهایی با جهت گیری تصادفی و ویژگی مکانیکی ضعیف حاصل می‌شود. ماتریکس خارج سلولی شبکه‌ای از نانوفیبرهای پیچیده منظم و مشخص است. با توجه به تاثیر توپوگرافی محیط بر القای مسیرهای پیام رسانی دخیل در فنوتیپ سلول، نانوفیبرها، قادرند محیطی مشابه با بدن را فراهم آورند (۱۷ و ۱۸). (کوپلیمرلاکتیک اسید و گلیکولیک اسید) از پلیمرهای زیستی متعلق به خانواده پلی‌alfa-هیدروکسی استرها می‌باشند (۲۰) که برای ساخت داربست‌های سنتزی در مهندسی بافت از آن استفاده می‌گردد. رفتار و میزان تخریب پذیری کوپلیمر PLGA قبل کنترل است. همچنین می‌توان ویژگی‌های مکانیکی آن را بر اساس بافت مورد نظر تنظیم نمود. این ویژگی مزیت اصلی این پلیمر و دلیل کاربرد آن در پزشکی است. غیرسمی بودن و تخلخل از دیگر ویژگی‌های این پلیمر می‌باشد که از دلایل کاربرد آن در مهندسی بافت است (۲۱، ۲۲، ۲۳ و ۲۴). در این پژوهش PLGA به عنوان پلیمر سازنده بسترهای انتخاب شد و دو بستر، شامل نانوفیبر PLGA با روش الکتروریسی و دیگری بستر PLGA، با روش انجاماد-خشک کن (freeze-drying) (۲۵ و ۲۶)، تهیه گردید. برای سنجش اثر جهت‌گیری و چرخش الیافها نسبت به یکدیگر و اثر آن بر قابلیت زنده ماندن سلول، نانوفیبرهای الکتروریسی در سه

## مقدمه

یکی از مشکلات بزرگ که علم پزشکی از دیرباز با آن درگیر بوده است، ارائه درمانی قطعی برای بازسازی بافت‌های از کار افتاده و یا معیوب می‌باشد. در حال حاضر تکنیک‌های مهندسی بافت بر اساس کشت سلول بر روی داربست توسعه یافته است. مهندسی بافت با طراحی و ساخت یک داربست با ساختار فیزیکی مناسب به‌دبیال ایجاد شرایطی است که امکان چسبندگی سلول‌ها به داربست، مهاجرت سلولی، تکثیر سلولی، تمایز سلولی، و در نهایت رشد و جایگزینی بافت جدید را ایجاد کند (۱، ۲ و ۳). در یک بافت، سلول‌ها با ماتریکس خارج سلولی احاطه شده‌اند که با یک شبکه طبیعی از نانوفیبرهای منظم تعریف شده است. این نانوساختار سه بعدی دارای مولکول‌های متفاوتی است که با گیرنده‌های موثر در چسبندگی سلول از جمله اینتگرین‌ها بر هم‌کنش می‌دهند و با پشتیبانی از سلول، رفتارهای سلولی را هدایت می‌کند. این رفتارها نتیجه واکنش سلول-ماتریکس خارج سلولی و به دنبال آن واکنش سلول-سلول با می‌باشد. تحقیقات انجام شده در زمینه شناسایی فاکتورهایی که در سرنوشت سلولی نقش دارند، حاکی از آن است که بیان مولکول‌های دخیل در چسبندگی سلولی و نیز اجزای ماتریکس خارج سلولی، در ایجاد یک محیط منحصر به فرد که قادر به تولید سیگنال‌های تنظیمی-القایی باشد، ضروری است (۶). اینتگرین‌ها از اصلی‌ترین گیرنده‌های سطح سلول می‌باشد که از اهمیت ویژه‌ای برخوردارند و در اتصالات سلول-ماتریکس خارج سلولی نقش اساسی دارند (۶، ۷، ۸ و ۹). اتصال و چسبندگی اولین و ضروری‌ترین رفتار یک سلول در مواجه با ریزمحیط قرار گرفته در آن می‌باشد. یافته‌های حاصل از مطالعه ماتریکس خارج سلولی طبیعی در بافت، یک نقشه برداری (توپوگرافی) با جهت‌گیری منظم و مشخص را برای نانوفیبرهای موجود در آن نشان می‌دهند که هم‌راستا با عمل کرد آن بافت است (۸). در این میان وجود بسترهایی که نقشی مشابه ماتریکس خارج سلولی را ایفا می‌کنند اهمیت زیادی دارد، چرا که وظیفه نگهداری سلول‌ها و شکل‌دهی به رفتار آن‌ها را بر عهده دارد (۹). بنابراین برای آن که یک بستر مهندسی شده دقیقاً همان عمل ماتریکس خارج سلولی طبیعی را انجام دهد، باید همان ساختار نانوفیبری (نانوتوبوگرافی) و سه بعدی را داشته باشد. اولین بار در سال ۱۹۱۱ هاریسون تاثیر توپوگرافی در رفتار سلول را مطرح کرد. بسترهای نانوتوبوگراف با فراهم آوردن ساختار قابل تنظیمی،

سلولی طبیعی، نقش اساسی در مهندسی بافت ایفا کنند. بر همین اساس در این پژوهش اهمیت روش ساخت بسترهای از پلیمر PLGA با ساختار نانو به روش الکتروریسی و روش انجاماد-خشک کن مورد مقایسه و ارزیابی قرار گرفت. به همین منظور اثر نانوتوبوگرافی بر تکثیر سلولی بر روی نانوفیبرهای تهیه شده در سه سرعت جمع کننده با یکدیگر مقایسه شد.

مقایسه مورفولوژی ساختارها و نیز جهت‌گیری الیاف‌ها نسبت به یکدیگر در بسترهای الکتروریسی شده، پس از پوشش آنها با لایه‌ای از طلا، با میکروسکوپ الکترونی اسکنینگ (Hitachi S3000N) در ولتاژ ۱۵ کیلو ولت انجام شد.

**کشت سلول:** فلاسک های ۲۵ سانتی‌متر مربعی حاوی سلول فیبروبلاستی L929 از انستیتو پاستور ایران خریداری شد. این سلول‌ها در محیط Roswell Park Memorial (RPMI-1640) Medium (Gibco) (Institute-1640 Medium) حاوی ۱۰ درصد سرم حیوانی (Gibco) و محلول آنتی‌بیوتیک آنتی‌مايكوتیک (Sigma) ۱۰۰۰۰ واحد پنی‌سیلین، ۱۰ میلی‌گرم استرپتومایسین و ۲۵ میکروگرم آمفوتوریسین در هر میلی‌لیتر، در انکوباتور CO<sub>2</sub> با رطوبت ۹۵ درصد دمای ۳۷ درجه سانتی‌گراد نگهداری شد و محیط کشت سلول هر ۴۸ ساعت تعویض شد.

**بررسی زیست سازگاری بسترهای:** به منظور بررسی زیست سازگاری بسترهای زمانی که تراکم سلول‌های فیبروبلاست L929 در فلاسک کشت سلول به حد قابل قبول رسید، با استفاده از محلول تریپسین ۰/۲۵ درصد (Gibco)، پس از ۱ تا ۵ دقیقه سلول‌ها از ظرف کشت سلول جدا شده و پس از شمارش با لام نئوبار، تعداد ۱۰<sup>۴</sup> سلول به هر چاهک، در پلیت ۲۴ خانه که از قبل نمونه‌های استریل ۱ سانتی‌متر مربع در آن قرار داشت، منتقل شد. برای استریل کردن، نمونه‌ها در اندازه‌های یک در یک سانتی‌متر بریده شد و درون ظرف‌های استریل قرار داده شد و سپس هر دو سمت نمونه‌ها به مدت ۲۰ دقیقه در معرض اشعه UV گرفت. روند رشد و تکثیر سلولی بر روی نمونه‌های مورد آزمایش با میکروسکوپ معکوس (Bell: INV-100 FL) مشاهده و عکسبرداری شد.

**بررسی قابلیت زندگانی سلول:** میزان سلول‌های زنده و فعال روی بسترهای ساخته شده با سنجش میزان فعالیت آنزیم میتوکندریالی، توسط سنجش MTT تعیین شد. پس از جدا کردن سلول‌ها از

سرعت چرخش متفاوت جمع کننده، تهیه شد. تغییر سرعت چرخش جمع کننده یکی از عوامل موثر در فرآیند الکتروریسی است که برای بدست آوردن فیبرهایی با جهت‌گیری‌های مختلف اعمال می‌شود (۲۷، ۲۸ و ۲۹). این پژوهش با هدف بررسی اهمیت شیوه ساخت بسترهای مناسب مهندسی بافت و نقش آن‌ها در تکثیر سلول انجام شد. برای تهیه بسترهای از پلیمر PLGA به روش‌های الکتروریسی و انجاماد-خشک کن انجام شد.

## مواد و روش‌ها

### ساخت بستر

تهیه نانوفیبرهای الکتروریسی: نانوفیبرهای PLGA با روش الکتروریسی تهیه شدند. جهت ساخت، از دستگاه الکتروریسی مدل CO881007NYI ساخت شرکت نانو ساختار آسیا کشور ایران که در پژوهشگاه پلیمر و پتروشیمی ایران موجود است، استفاده شد. محلول PLGA با نسبت ۱:۱ گلیکولیک اسید به لاکتیک اسید (Sigma, mol wt 30,000-60,000) با غلظت ۲۰ درصد در حلal ترکیبی دی متیل فرمامید/کلروفرم با نسبت ۱ به ۳ تهیه شد. ولتاژ دستگاه ۲۰ کیلوولت، فاصله بین سوزن (آن) تا جمع کننده لیف (کاتد)، ۱۵ سانتی‌متر و سرعت پمپ شدن محلول پلیمر به نوک سوزن ۱ میلی‌لیتر بر ساعت تعییه شد. برای تهیه فیبرهای منظم و تصادفی از یک جمع کننده استوانه‌ای پوشیده شده با ورقه آلومینیومی با ضخامت ۵۰ سانتی‌متر با سرعت چرخش قابل تنظیم استفاده گردید. بنابراین فرآیند الکتروریسی در سه شرایط متفاوت انجام شد که در هر سه مورد، تمام متغیرهای ذکر شده ثابت بود به جزء سرعت چرخش جمع کننده که در سه میزان ۲۵۰، ۱۳۷۵ و ۲۵۰۰ دور بر دقیقه تنظیم شد. سرعت چرخش جمع کننده مستقیماً بر اندازه و مورفولوژی فیبرها موثر است.

تهیه بستر با روش انجاماد - خشک کن: محلول ۱۲ درصد PLGA در حلal تترافلورواتانول (TFE) تهیه شد سپس محلول حاصل به یک پلیت که کف آن با یک ورقه آلومینیومی پوشیده شده بود انتقال یافت. پلیت به فریزر با دمای -۳۰ درجه سانتی‌گراد منتقل شد و پس از انجاماد کامل محلول، به مدت ۲ تا ۳ روز در محیط خلا قرار گرفت. ساختار تهیه شده در یخچال با دمای ۴ درجه سانتی‌گراد نگهداری شد.

**بررسی با میکروسکوپ الکترونی:** نانوفیبرها می‌توانند با فراهم کردن محیطی سه بعدی در تقلید از ماتریکس خارج

## نتایج

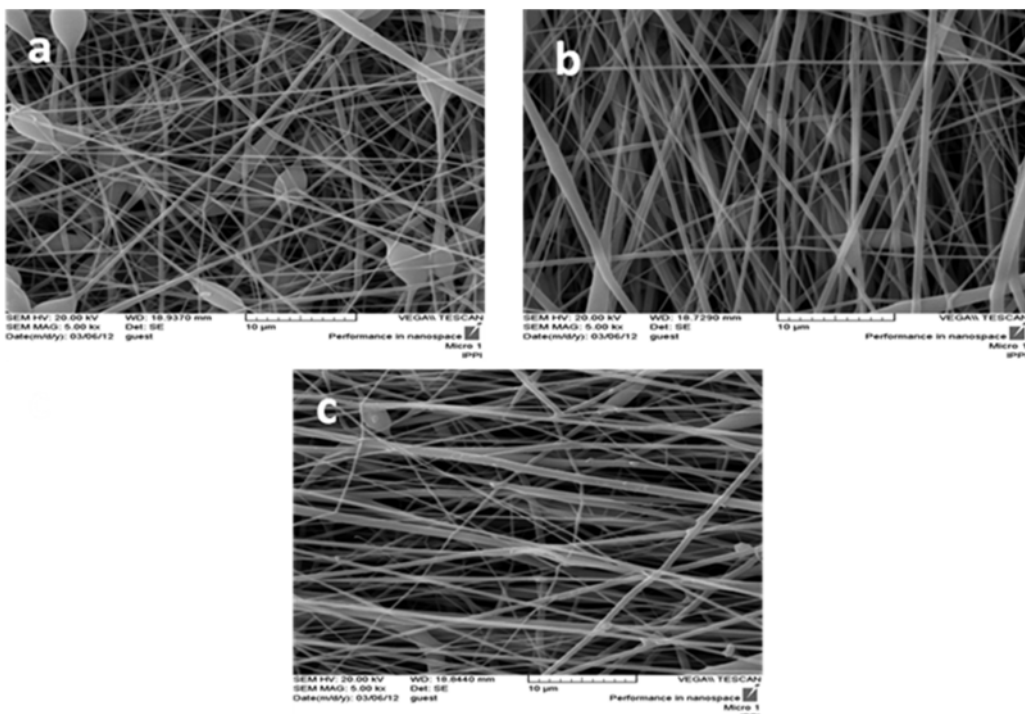
### میکروسکوپ الکترونی

به منظور بررسی تاثیر روش ساخت بسترهای ساختار آنها و تاثیر تعییر سرعت جمع کننده الیاف در فرآیند الکتروریسی بر مورفولوژی نانوفیبر با استفاده از میکروسکوپ الکترونی تصاویری تهیه گردید. نتایج نشان داد که با افزایش سرعت چرخش جمع کننده، میزان نظم فیبرها نیز افزایش یافته است (شکل ۱). همچنین ساختار متخلخل بستر تهیه شده به روش انجماد-خشک کن در شکل ۲ دیده می‌شود.

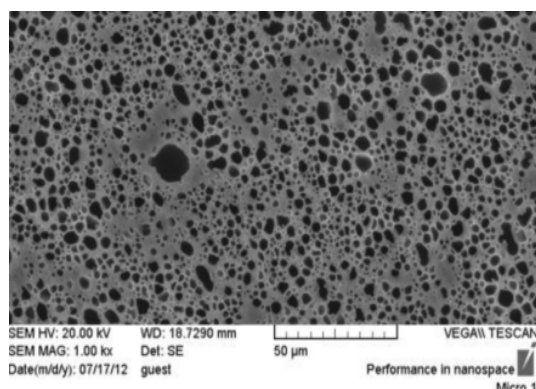
### زیست سازگاری بسترهای

نتایج حاصل از کشت سلول بر روی نانوفیبرهای الکتروریسی شده و بسترهای تهیه شده به روش انجماد-خشک کن با میکروسکوپ معکوس معمولی مشاهده و مورد بررسی قرار گرفت. (شکل ۳). در مورد هر چهار نمونه جهت گیری و تمایل سلول‌ها به سمت آنها مشاهده گردید که بیانگر زیست سازگار خوب ساختارها می‌باشد.

کف فلاسک با محلول تریپسین ۰/۲۵ درصد، شمارش انجام شد و تعداد ۱۰۰ سلول به هر چاهک، در پلیت ۲۴ خانه محبوی بسترهای استریل منتقل شد. کشت سلول تا ۷۲ ساعت ادامه یافت و هر ۲۴ ساعت میزان تکثیر سلول‌ها برروی بسترهای با استفاده از تست MTT سنجیده شد. بدین صورت که پس از خارج کردن محیط کشت، ۱۰۰ میکرولیتر محلول MTT (Sigma)، (۵ میلی گرم بر میلی لیتر در PBS) (یا محلول بافر فسفات نمکی ۱× و ۹۰۰ میکرولیتر محیط کشت تازه محبوی ۱۰ درصد سرم به هر چاهک از پلیت ۲۴ خانه اضافه شد و به مدت ۳ ساعت در دمای ۳۷ درجه سانتی گراد نگهداری شد. سپس محیط کشت حاوی محلول MTT با دقت خارج شد و جهت حل کردن کریستال‌های فورمازان ۱۰۰ میکرولیتر دی متیل سولفوکساید (DMSO) به هر چاهک اضافه گردید و به مدت ۱۵ دقیقه در تاریکی نگهداری شد. میزان جذب نوری در طول موج ۵۷۰ nm (λ Ref: ۶۳۰ nm) توسط دستگاه ELISA (BioTek ELx800) reader خوانده شد. قابلیت زندگماندن سلول‌ها به صورت درصد نسبت نمونه به کنترل محاسبه گردید. نتایج توسط نرم افزار SPSS، آنالیز واریانس (ANOVA) در سطح معنی‌داری  $p < 0.05$  تحلیل شد.



شکل ۱: میکروگراف الکترونی از نانوفیبر الکتروریسی شده PLGA: تانیر سرعت چرخش جمع کننده در نظم و جهت گیری نانوفیبرهای الکتروریسی در این شکل قابل مشاهده است. به ترتیب با افزایش سرعت چرخش جمع کننده از ۲۵۰  $mfp$  (a) به ۱۳۷۵ (b) و ۲۵۰۰ (c) نظم فیبرها افزایش یافته است. نانوفیبر (a) در مقایسه با نانوفیبر (c) دارای جهت گیری تصادفی و نامنظمی است (bar: 10  $\mu m$ ).



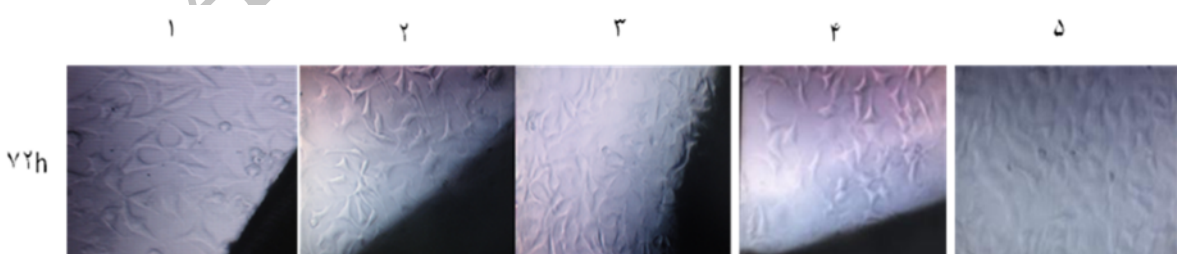
شکل ۲: میکروگراف الکترونی از بستر تهیه شده به روش انجماد- خشک کن سلول (bar: 50  $\mu\text{m}$ )



شکل ۳: تصاویر تهیه شده از رشد سلول در کنار بسترهای پس از گذشت ۲۴ ساعت (۱) نانوفیبرهای الکتروریسی rpm (۳، ۱۳۷۵ rpm (۲، ۲۵۰ rpm (۳، ۲۵۰ rpm (۴، ۲۵۰ rpm (۵) بستر انجماد- خشک کن ، (۶) کنترل مثبت (بدون بستر) مناطق تیره رنگ در تصاویر بسترهای هستند. این تصاویر به منظور تایید زیست سازگاری بسترهای ساخته شده از پلیمر PLGA تهیه شد.

جهت گیری به سمت نانوفیبرهای الکتروریسی تهیه شده در ۱۳۷۵ و ۲۵۰ دور در دقیقه مشاهده شد، در مقابل نانوفیبر الکتروریسی ۲۵۰ rpm و پس از آن بستر انجماد- خشک کن، کاهش رشد و جهت گیری را نشان دادند. در ۷۲ ساعت پس از کشته دیده شد که این میزان برای بسترهای انجماد- خشک کن بیشتر بود. پس از ۴۸ ساعت، در مقایسه با روز اول، جهت گیری و تکثیر سلولها در نانوفیبرها به طور چشمگیری افزایش یافت. در مقایسه نمونه‌ها بایکدیگر، بیشترین میزان رشد سلول و مقایسه بسترهای با یکدیگر در روز سوم مشابه روز دوم بود.

افزایش میزان رشد سلول بر روی بسترهای در ۷۲ ساعت پس از کشته در شکل ۴ نشان داده شده است. با توجه به تصاویر به دست آمده از میکروسکوپ معکوس، در ۷۲ ساعت پس از انتقال سلول بر روی بسترهای تمایل و رشد سلولها به سمت بسترهای دیده شد که این میزان برای بسترهای انجماد- خشک کن بیشتر بود. پس از ۴۸ ساعت، در مقایسه با روز اول، جهت گیری و تکثیر سلولها در نانوفیبرها به طور چشمگیری افزایش یافت. در مقایسه نمونه‌ها بایکدیگر، بیشترین میزان رشد سلول و

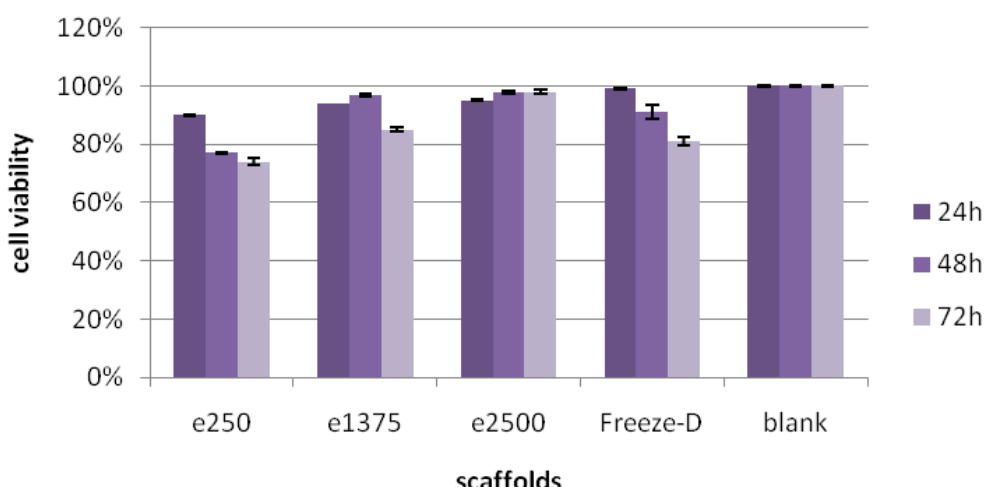


شکل ۴: تصاویر تهیه شده از رشد سلول بر روی بسترهای پس از گذشت ۷۲ ساعت. (۱) نانوفیبرهای الکتروریسی rpm (۳، ۱۳۷۵ rpm (۲، ۲۵۰ rpm (۳، ۲۵۰ rpm (۴، ۲۵۰ rpm (۵) بستر انجماد- خشک کن ، (۶) کنترل مثبت (بدون بستر) مناطق تیره رنگ در تصاویر بسترهای هستند.

است، در مقایسه بسترهای با یکدیگر بیشترین درصد زنده ماندن سلول بر روی بستر مربوط به نانوفیبرهای ۱۳۷۵ rpm و ۲۵۰۰ بود (نمودار ۱).

#### نتایج سنجش MTT

نتایج حاصل از تست MTT تائید کننده تصاویر به دست آمده از میکروسکوپ معکوس بود. همانطور که در نمودار یک مشخص



نمودار ۱: نتایج حاصل از تست MTT میزان رشد سلول‌ها بر روی بسترهای مقایسه با یکدیگر: ۱) نانوفیر الکتروریسی (۲، ۲۵۰ rpm)، ۲) نانوفیر (۳، ۱۳۷۵ rpm)، ۳) بسته انجاماد (۴، ۲۵۰۰ rpm)، ۴) بسته انجاماد خشک کن، ۵) کنترل مثبت (بدون بستر). این آزمون در سطح معناداری  $p < 0.05$  با آنالیز ANOVA انجام شد.

در ایجاد رفتار مناسب از سلول موفق‌تر عمل می‌کند. پس از مطالعات هاریسون در سال ۱۹۱۱ که تاثیر شکل و ساختار محیط بر سرنوشت سلول بنیادی جنبینی را نشان داد، Curtis و همکاران، نقش توپوگرافی بر روی سلول‌های اندوتیال، اپی‌تلیال و فیبروبلاستی را برای اولین بار مطرح کردند (۳۲). تحقیقات بعدی در این زمینه نیز حاکی از آن بود که انواع سلول‌ها از جمله، فیبروبلاست‌ها، استئوبلاست‌ها، نورون‌ها و سلول‌های بنیادی مزانشیمی، اساساً به نانوتوپوگرافی پاسخ می‌دهند (۳۳). در تمامی این مطالعات آنچه حائز اهمیت است این است که، پاسخ‌های سلول تحت تاثیر توپوگرافی است و اخیراً نقش نانوتوپوگرافی در مقایسه با میکروتوپوگرافی به عنوان یک فاکتور اساسی دخیل در رفتار سلول محسوب می‌گردد (۳۴). امروزه در میان بیومواد مورد بحث، نانوفیر الکتروریسی مورد توجه و پژوهش قرار گرفته‌اند. اجزای مختلف بافت‌های بدن به شکل نانوساختارهای منظم هستند و تاثیر آن بر فنوتیپ سلول به نظر می‌رسد که نانوفیر منظم و مرتب شده می‌باشد. این مورد علاوه بر سازگاری بیشتر با بافت‌های بدن، در ایجاد مسیرهای پیام‌رسانی سلولی مهم تر می‌باشد (۳۵ و ۳۶). برای مثال، مطالعه انجام شده در زمینه نقش نانوفیرهای منظم بر عمل کرد سلول Tz و همکاران، تمایز بیشتر سلول‌های بنیادی تاندون انسانی را بر روی نانوفیرهای منظم PLA (پلی‌لакتیک اسید) نشان داد (۳۷). همچنین مطالعاتی با هدف بررسی تاثیر توپوگرافی با استفاده از سلول‌های استئوبلاستی و فیبروبلاستی انجام شده است (۳۸، ۳۹ و ۴۰). Xie و همکاران (۴۱) نشان

## بحث

رفتار سلولی در یک بافت، پاسخ به مولکول‌های پیام‌بردار شده بر سطح سلول وارد می‌شوند و گیرنده‌های اختصاصی سطح سلول آن‌ها را دریافت می‌کنند و به دنبال آن آبشارهای پیامی ایجاد می‌شود. سه عامل مهم در ایجاد رفتار مناسب سلولی نقش دارد که عبارت است بر هم‌کنش سلول‌های مجاور با یکدیگر، مولکول‌های محلول همچون فاکتورهای رشد و با ماتریکس خارج سلولی. آگاهی از این پاسخ‌ها که اغلب توسط محیط نانوفیربری ایجاد می‌شود در طراحی بسترهای جدید در تقلید از ماتریکس خارج سلولی طبیعی اهمیت بهسزایی دارد. ترکیب پیچیده از مولکول‌های مختلف ماتریکس خارج سلولی که سلول و بافت را احاطه کرده‌اند در تعیین میزان رشد سلول، تمایز سلول و مهاجرت سلول نقش دارند (۱۰ و ۹۶). به منظور راه‌اندازی مسیرهای پیام‌رسانی موثر برای بروز رفتار سلولی، طراحی داربست‌های زیستی و همچنین روش ساخت آنها، از اصلی‌ترین وظایف مهندسی بافت است (۲۹). اهمیت استفاده از داربست در بهینه‌سازی، بازسازی و ترمیم بافت هدف است به طوری که سلول‌های اولیه کاشته شده روی داربست شروع به تقسیم کرده و ناحیه لانه گزینی را پر می‌کنند. فاکتورهای اتصالی که داخل محیط داربست تجمع پیدا می‌کند، اتصال و مهاجرت سلول‌ها را افزایش داده و در نتیجه مدت زمان بازسازی و طول دوره ترمیم را کاهش می‌دهد (۳۰ و ۳۱). هرچقدر توپوگرافی یک داربست به شکه نانوفیری ماتریکس خارج سلولی طبیعی نزدیک‌تر باشد،

این پژوهش در کنار مطالعاتی که در گذشته انجام شده است، همگی مovid آن است که، با اینکه علوم قرار گرفته در پشت فرآیند الکتروریسی هیچ یک ساده نیستند اما این روش بسیار ساده‌ای است که فقط به آزمایشگاه مجهز جهت رساندن الیاف به مقیاس نانو نیاز دارد. فیرهایی با مورفولوژی‌های متفاوت و از مواد متفاوت می‌تواند به طور مستقیم و یا غیر مستقیم از الکتروریسی حاصل شوند. تنوع مواد قابل استفاده در این روش، تولید بستری با سطح مخصوص بسیار بالا و آسانی اتصال به سلول‌های بدن بهدلیل داشتن ابعاد کوچکتر از سلول، وجود تخلخل مناسب و قابل تغییر (۴۴، ۴۵ و ۴۶)، محققین را بر آن داشته است که مطالعات خود را در زمینه کاربرد نانوفیرهای الکتروریسی شده به منظور مهندسی بافت ادامه دهند.

### نتیجه گیری

نتایج حاصل از کشت سلول بر روی نانوفیرهای PLGA و فیرهای PLGA تهیه شده به روش انجاماد-خشک کن نشان داد که در ۲۴ ساعت اول کشت با توجه به ایجاد تخلخل بالا توسط روش انجاماد-خشک کن چسبندگی بهتری نسبت به نانوفیر PLGA داشت اما با ادامه کشت تا ۷۲ ساعت در مقابل نانوفیر با توجه به نزدیکی ساختار آن به ماتریکس خارج سلولی طبیعی در ایجاد تکثیر سلولی عمل کرد بهتری را ارائه نمود.

### تشکر و قدردانی

این تحقیق با حمایت مرکز تحقیقات مهندسی زیست فناوری دانشگاه آزاد اسلامی واحد علوم و تحقیقات تهران انجام شد که بدین‌وسیله از زحمات آنان تقدیر و تشکر به عمل می‌آید.

### منابع

- DM Y, Fisher JP. Polymeric Scaffolds for Tissue Engineering Applications. In: *Tissue Engineering*. (Bronzino, ed.) CRC Press, Boca Raton, FL. 2007; 8-1 - 8-18.
- Belle. *Tissue engineering, an overview*. In: Belle, editor. *Tissue Engineering: Current Perspectives*: Birkhauser Verlag AG. 1993; 3- 15.
- Yusop AH, Bakir AA, Shaharom NA, Abdul Kadir MR, et al. Porous biodegradable metals for hard tissue scaffolds. A review. *Int J Biomater*. 2012; 2012: 641430. 10 pages
- Langer R, Vacanti J. *Tissue engineering*. *Science*. 1993; 260(5110): 920-926.

دادند که سلول‌های فیبروبلاست تاندون بر روی نانوفیر PLGA به فرم تصادفی یک مورفولوژی نامنظم و بدون جهت‌گیری مشخصی را نشان می‌دهد. این در حالی است که سلول‌ها بر روی نانوفیر PLGA تهیه شده در فرم منظم، مورفولوژی با جهت‌گیری مشخصی را در امتداد فیرها نشان دادند. در مطالعه دیگری که توسط Lee و همکارانش (۴۲) انجام شد، نتایج مشابهی از رشد و تمایز سلول‌های PC12 بر روی فیرهای منظم مشابه (Poly PYrrole) PPY-PLGA در مقایسه با فرم نامنظم آن بدست آمد. در این مطالعات آنچه حائز اهمیت است این است که پاسخ‌های سلول تحت تأثیر توپوگرافی است و اخیراً نقش نانوتوبوگرافی در مقایسه با میکروتوپوگرافی به عنوان یک فاکتور اساسی دخیل در رفتار سلول محسوب می‌گردد (۴۳). نتایج حاصل از رشد سلول‌ها بر روی نانوفیرهای PLGA در این پژوهش نیز، در جهت تأیید پژوهش‌های انجام شده بود. یافته‌های حاصل از میکروسکوپ معکوس و نتایج تست MTT در این تحقیق نشان داد که بسترهای PLGA تهیه شده به روش انجاماد-خشک کن به دلیل میزان تخلخل بالا، چسبندگی مناسبی برای سلول فراهم کرد به نحوی که در ۲۴ ساعت پس از کشت، در مقایسه با نانوفیرهای PLGA الکتروریسی، قابلیت زنده ماندن سلول بیشتر بود، اما با ادامه کشت در ۴۸ و ۷۲ ساعت، به طور معنی‌داری درصد زنده ماندن سلول بر روی نانوفیر PLGA الکتروریسی شده افزایش یافت، در حالی که این درصد بر روی نمونه‌های PLGA انجاماد-خشک کن در طی این ۲ روز تغییر چندانی نکرد. نتایج به خوبی بیانگر این مسئله است که نانوفیر PLGA در ایجاد رفتار سلولی مناسب عمل کرد بهتری داشت و با توجه به شباهت ساختاری آن به ماتریکس خارج سلولی طبیعی این انتظار هم وجود داشت. جهت بررسی محیط نانو فیری بر روی رشد سلول روش انجاماد-خشک کن هم استفاده شد. نتایج این مطالعه پیشنهاد می‌کند که نانوفیرهای PLGA در مقایسه با PLGA انجاماد-خشک کن می‌تواند در جهت ایجاد پاسخ سلولی مناسب به منظور مهندسی بافت عمل کرد بهتری داشته باشند. همچنین از میان نانوفیرهای الکتروریسی شده، فیر تهیه شده به فرم منظم (۲۵۰۰ دور در دقیقه)، نتایج مطلوب‌تری را نشان داد. که تأیید کننده نتایج حاصل از پژوهش Xie و همکاران همچنین Lee و همکاران بود. آنان گزارش کردند نانو فیرهای تهیه شده در فرم منظم نسبت به نامنظم باعث جهت‌گیری و رشد و تمایز سلول‌ها بر روی بستر بود.

5. Chen SS, Fitzgerald W, Zimmerberg J, Kleinman HK. Cell-cell and cell-extracellular matrix interaction regulate embryonic stem cell differentiation. *Stem Cells*. 2007; 25(3): 553–561.
6. Yarwood SJ, Woodgett JR. Extracellular matrix composition determines the transcriptional response to epidermal growth factor receptor activation. *PNAS*. 2001; 98(8): 4472–4477.
7. Andressen C, Adrian S, Fassler R .The contribution beta1 integrins to neuronal migration and differentiation depends on extracellular matrix molecules. *Eur J Cell Biol*. 2005; 84(12): 973–982.
8. Mruthyunjaya S, Manchanda R, Godbole R, Pujari R, et al. Laminin-1 induces neurite outgrowth in human mesenchymal stem cells in serum/differentiation factors-free conditions through activation of FAK-MEK/ERK signaling pathways. *Biochem Biophys Res Commun*. 2010; 391(1): 43–48.
9. Hynes R. Integrins: bidirectional, allosteric signaling machines. *Cell*. 2002; 110(6): 673–687.
10. Larsen M, Artym VV, Green JA, Yamada KM. The matrix reorganized: extracellular matrix remodeling and integrin signaling. *Curr Op Cell Biol*. 2006; 18(5): 463–471.
11. Shi J, Votruba AR, Farokhzad OC, Langer R. Nanotechnology in Drug Delivery and Tissue Engineering: From Discovery to Applications. *Nano Lett*. 2010; 10(9): 3223-30.
12. Cunha C, Panseri S, Antonini S. Emerging nanotechnology approaches in tissue engineering for peripheral nerve regeneration. *Nanomedicine*. 2011; 7(1): 50-59.
13. Venugopal J, Ramakrishna S. Applications of Polymer Nanofibers in Biomedicine and Biotechnology. *Applied Biochemistry and Biotechnology*. 2005; 125(3): 147-156.
14. Frey MW. Electrosinning Cellulose and Cellulose Derivatives. *Polymer Reviews*. 2008; 48(2): 378–391.
15. Bjorge D, Daels N, De Vrieze S, Dejans P, et al. Performance assessment of electrospun nanofibers for filter applications. *Desalination*. 2009; 249(3): 942–948.
16. Liang D, Hsiao BS, Chu B. Functional electrospun nanofibrous scaffolds for biomedical applications. *Advanced Drug Delivery Reviews*. 2007; 59:1392–1412.
17. Tungprapa S, Puangpurn T, Weerasombut M, Jangchud I, et al. Electrospun cellulose acetate fibers: effect of solvent system on morphology and fiber diameter. *Cellulose*. 2007; 14(6): 563–575.
18. Shaoping Z, Wee ET, Xiao Z, Beuerman RW, et al. An aligned nanofibrous collagen scaffold by electrospinning and its effects on in vitro fibroblast culture. *J Biomed Mater Res A*. 2006; 79(3): 456–63.
19. Shaoping Z, Wee ET, Xiao Z, Roger B, et al. Formation of collagen-glycosaminoglycan blended nanofibrous scaffolds and their biological properties. *Biomacromolecules*. 2005; 6: 2998–3004.
20. Theron A, Zussman E, Yarin AL. Electrostatic field-assisted alignment of electrospun nanofibres. *Nanotechnology*. 2001; 12(3): 384.
21. Gunatillake P, Adhikari R. Biodegradable synthetic polymers for tissue engineering. *Eur Cell Mater*. 2003; 5: 1-16.
22. Shi G, Cai Q, Wang C, Lu N, et al. Fabrication and biocompatibility of cell scaffolds of poly (L-lactic acid) and poly (L-lactic-co-glycolic acid). *Polymers for advanced technologies*. 2002; 13(3-4): 227-232.
23. Baier Leach J, Bivens K, Patrick Cw, Jr ,Schmidt C. Photocrosslinked hyaluronic acid hydrogels: natural, biodegradable tissue engineering scaffolds. *Biotechnol Bioengin*. 2003; 82: 578-89.
24. Athanasiou KA, Niederauer GG, M Agrawal. Sterilization, toxicity, biocompatibility and clinical applications of polylactic acid/polyglycolic acid copolymers. *Biomaterial*. 1996; 17(2): 93-102.
25. Xin X, Mohammad H, Mao Jeremy J. Continuing differentiation of human mesenchymal stem cells and induced chondrogenic and osteogenic lineages in electrospun PLGA nanofiber scaffold. *Biomaterials*. 2007; 28: 316-325.
26. Haugh MG, Murphy CM, O'Brien FJ. Novel freeze-drying methods to produce a range of collagen-glycosaminoglycan scaffolds with tailored mean pore sizes. *Tissue Eng Part C Methods*. 2010; 16(5): 887-94.
27. Schoof H, Apel J, Heschel I, Rau G. Control of pore structure and size in freeze-dried collagen sponges. *J. Biomed Mater Res*. 2001; 58(4): 352–7.
28. Katta P, Alessandro M, Ramsier RD, Chase GG. Continuous electrospinning of aligned polymer nanofibers onto a wire drum collector. *Nano*. 2004; 4: 2215.
29. Sundaray B, Subramanian V, Natarajan TS, Xiang RZ, et al. Electrospinning of continuous aligned polymer fibers. *Appl. Phys. Lett.* 2004; 84(7): id. 1222.
30. Kwangsok Kim, Meiki Yu, Xinhua Z, Jonathan Ch, et al. Control of degradation rate and hydrophilicity in electrospun non-woven poly (d, l-

- lactide) nanofiber scaffolds for biomedical applications. *Biomaterials*. 2003; 24(27): 4977–4985.
31. Ushida T, Tateishi T. Scaffold Design for Tissue Engineering. *Macromolecular Bioscience*. 2002; 2: 67-77.
32. Curtis A, Wilkinson C. Topographical control of cells. *Biomaterials*. 1997;18 ( 24): 1573-1583.
33. Curtis ASG, Gadegaard N, et al. Cells react to nanoscale order and symmetry in their surroundings. *IEEE Transactions on Nanobioscience*. 2004; 3(1): 61-65.
34. Dalby MJ, Riehle MO, Johnstone H, Affrossman S, et al. In vitro reaction of endothelial cells to polymer demixed nanotopography. *Biomaterials*. 2002; 23: 2945–2954.
35. Young Y, Seung JL, Byung-Moo M, Won Ho P. Effect of Solution Properties on Nanofibrous Structure of Electrospun Poly (lactic- co-glycolic acid). *Journal of Applied Polymer Science*. 2006; 99(3): 1214–1221.
36. Buckley CT, O'Kelly KU. Regular scaffold fabrication techniques for investigations in tissue engineering In: Topics in Biomechanical Engineering, TCD (Eds Prendergast PJ, McHugh PE). 2004; 147-166.
37. Zi Y, Xiao Ch, Jia Lin Ch, Wei Liang Sh, et al. The regulation of tendon stem cell differentiation by the alignment of nanofibers. *Biomaterials*. 2010; 31: 2163–2175.
38. Biggs MJP, Richards RG, Gadegaard N, et al. Interactions with nanoscale topography: adhesion quantification and signal transduction in cells of osteogenic and multipotent lineage. *Journal of Biomedical Materials Research A*. 2009; 91(1): 195–208.
39. Dalby MJ, Gadegaard N, Wilkinson CDW. The response of fibroblasts to hexagonal nanotopography fabricated by electron beam lithography. *Journal of Biomedical Materials Research A*. 2008; 84(4): 973–979.
40. Li WJ, Laurencin CT, Caterson EJ, Tuan RS, et al. Electrospun nanofibrous structure: a novel scaffold for tissue engineering. *J Biomed Mater Res* 2002; 60(4): 613–621.
41. Xie J, Li X, Lipner J, Manning CN, et al. Aligned-to-random" nanofiber scaffolds for mimicking the structure of the tendon-to-bone insertion site. *Nanoscale*. 2010; 2(6): 923-6.
42. Lee JY, Bashur CA, Goldstein AS, Schmidt CE. Polypyrrole-coated electrospun PLGA nanofibers for neural tissue applications. *Biomaterials*. 2009; 30(26): 4325-4335.
43. Geblinger D, Addadi L, Geiger B. Nanotopography sensing by osteoclasts. *Journal of Cell Science*. 2010; 123(9): 1503–1510.
44. Lee MR, Kwon KW, Jung H, et al. Direct differentiation of human embryonic stem cells into selective neurons on nanoscale ridge/groove pattern arrays. *Biomaterials*. 2010; 31: 4360–4366.
45. Sumit P, Belinda Pingguan-Murphy Noor Azuan Abu Osman. Progress of key strategies in development of electrospun scaffolds: bone tissue. *Sci. Technol. Adv. Mater.* 2012; 13(4): 043002 (13pp).
46. Chung S, Ingle NP, Montero GA, Kimc SH, et al. Bioresorbable elastomeric vascular tissue engineering scaffolds via melt spinning and electrospinning. *Acta Biomaterialia*. 2010. 6(6): 1958-67.

## Preparation of PLGA Substrate Nanostructures Through Electrospinning and Freeze Drying For Tissue Engineering

Salamian N. M.Sc.<sup>1</sup>, Iirani Sh. Ph.D.<sup>1</sup>, Atyabi SM. Ph.D.\*<sup>2</sup>, Zandi M. Ph.D.<sup>3</sup>,  
Saeed SM. Ph.D.<sup>3</sup>

1. Department of Biology, Science and Research Branch, Islamic Azad University, Tehran, Iran

2. Department of Pilot Biotechnology, Pasteur Institute of Iran, Tehran, Iran

3. Department of Biomaterial, Iranian Polymer and Petrochemical Institute, Tehran, Iran

\* Email corresponding author: atyabi@pasteur.ac.ir, mohammadatyabi@yahoo.com

Received: 6 Sep. 2012

Accepted: 30 Apr. 2013

---

### Abstract

**Aim:** In this study we were investigated the importance of the preparation method of the substrate based on PLGA polymer by electrospinning and freeze-drying method. To investigate the effect of nanotopography on cell behavior, the prepared nanofibers were compared with each other in three speeds of the collector.

**Material & Methods:** PLGA substratum were made by electrospinning and freeze-drying. The morphology of the structures was compared by use of the Scanning electron microscope images. Mouse fibroblast cells (L929 cell line) were seeded on substrates to determine the cell viability and followed by MTT assay.

**Results:** Scanning electron microscope images showed that, by increasing the speed of collector, the nanofibrous orientation increased. MTT assay ( $p < 0.05$ ) showed in 24 h that PLGA substrates prepared by freeze-drying method were provided the appropriate attachment for the cell by producing a porous structure. Cell viability was significantly increased on the PLGA nanofibers with increase of fibers regularity after 48 and 72 h cell culture. This feature did not change on freeze-drying substrate.

**Conclusion:** The findings were indicated that electrospun PLGA nanofibers had the better performance to provide cell behavior. It was expected because of similarity to the structure of the natural extracellular matrix. It seems that aligned fibers acted as a positive factor to support cell proliferation.

**Keywords:** Tissue engineering, Nanofiber, Electrospinning, PLGA, Freeze dryer